

ДИНАМИКА РЕШЕТКИ  
И ФАЗОВЫЕ ПЕРЕХОДЫ

УДК 539.27, 669.292/296.018

РАЗДЕЛЬНОЕ ОПРЕДЕЛЕНИЕ АМПЛИТУДЫ ТЕПЛОВЫХ КОЛЕБАНИЙ  
И СТАТИЧЕСКИХ СМЕЩЕНИЙ АТОМОВ В КАРБИДАХ ТИТАНА  
МЕТОДОМ ДИФРАКЦИИ НЕЙТРОНОВ

© 2011 г. И. Хидиров, А. С. Парпиев

Институт ядерной физики АН Узбекистана, Ташкент

E-mail: khidirov@inp.uz

Поступила в редакцию 13.04.2010 г.

Путем измерения нейтронограмм карбидов титана  $TiC_x$  ( $x = 0.97; 0.88; 0.70$ ) при двух температурах ( $T_1 = 300$  К и  $T_2 = 80$  К) раздельно определены амплитуды тепловых колебаний (динамические) и среднеквадратичные статические смещения атомов в кристаллической решетке. Экспериментально установлено, что статические искажения решетки в стехиометрическом карбиде титана пренебрежимо малы. В области гомогенности  $TiC_x$  наблюдается существенное увеличение амплитуды

тепловых колебаний атомов  $\sqrt{u_{\text{дин}}^2}$  с уменьшением концентрации углерода. Впервые определена температура Дебая в области гомогенности карбида титана  $TiC_x$  как при комнатной температуре, так и при температуре жидкого азота.

ВВЕДЕНИЕ

Для прогнозирования прочностных свойств материалов большое значение имеют среднеквадратичные смещения (СКС) атомов ( $u^2$ ) в решетке. Полные СКС атомов в сплавах состоят из суммы амплитуды тепловых колебаний (динамических) и среднеквадратичных статических смещений атомов решетки. Раздельное определение среднеквадратичных динамических и статических смещений атомов в кристаллической решетке представляет как научный, так и практический интерес для конструкционного материала – карбида титана  $TiC_x$  переменного состава. Если удастся раздельно определить статические смещения и амплитуду тепловых колебаний атомов, то через последнюю можно определить и температуру Дебая. Величину СКС можно определить из анализа экспериментальных интенсивностей дифракционных максимумов на рентгенограммах [1] и нейтронограммах кристаллов с кубической структурой [2]. Методика определения СКС по фактору ослабления интенсивностей нейтронодифракционных отражений на нейтронограммах соединений с кубической структурой привлекательна как своей простотой, так и тем, что величина СКС определяется непосредственно из эксперимента. Использование дифракции нейтронов упрощает определение СКС и повышает точность по сравнению с рентгеновским методом. Преимущество дифракции нейтронов связано с тем, что амплитуда рассеяния нейтронов не зависит от угла отражения, а также влияние экстинкции, преимущественной ориентации и поглощение во много раз

меньше, чем для рентгеновских лучей, и их влияниями можно пренебречь [3].

Цель настоящей работы – раздельное определение амплитуды тепловых колебаний и среднеквадратичных статических смещений атомного комплекса (эффективные СКС) в карбиде титана  $TiC_x$  методом дифракции нейtronов.

МЕТОДИКА ЭКСПЕРИМЕНТА

Исследуемые образцы  $TiC_x$  ( $x = 0.97, 0.88, 0.70$ ) готовились методом самораспространяющегося высокотемпературного синтеза (СВС) [4] в Институте структурной макрокинетики РАН. В качестве исходных реагентов использовали порошки титана и углерода марок ПТЭМ с чистотой 99.76 мас. % и “очень чистый” соответственно. Содержание углерода в конечном продукте определяли методом химического анализа. Для гомогенизации образцы отжигали в интервале температур 1570–1370 К в течение 24 ч с последующим охлаждением образцов вместе с печью. Термообработку образцов проводили в вакуумной печи типа СШВЛ-0.6.2 при вакууме не хуже  $6.67 \times 10^{-3}$  Па. Согласно рентгенофазовому анализу, после гомогенизирующего отжига все образцы однофазны, однородны по составу и имеют структуру типа  $NaCl$  (пр. гр.  $Fm\bar{3}m$ ) с параметрами решетки  $a = 4.330\text{--}4.322$  Å ( $\Delta a = 0.002$  Å). Нейтронограммы образцов снимали в криостате сначала при комнатной температуре ( $T = 300$  К), а затем при температуре жидкого азота ( $T = 80$  К) на нейтронном дифрактометре, установленном на тепловой колонне ядерного реактора ВВР-СМ ИЯФ АН РУ

( $\lambda = 1.085 \text{ \AA}$ ) [5]. Как при комнатной температуре, так и при температуре жидкого азота, нейтронограммы карбидов снимали по 3 раза для исключения случайных ошибок и проводили количественное сравнение интенсивностей дифракционных максимумов нейтронограмм каждого образца, полученных до и после измерения при температуре жидкого азота.

## ЭКСПЕРИМЕНТАЛЬНЫЕ РЕЗУЛЬТАТЫ И ИХ ОБСУЖДЕНИЕ

Согласно нейтронограммам, при комнатной температуре образцы карбидов имели структуру типа  $\text{NaCl}$  (рис. 1). Согласно результатам обработки нейтронограмм методом Ритвельда [6], концентрация углерода в образцах с точностью в пределах 2–3% соответствует данным химического анализа и его атомы статистически распределены по октаэдрическим междуузлям атомов матрицы. Отметим, что структурные характеристики образцов соответствуют известным данным для этих составов [7]. Далее проводили измерения в криостате через 7 ч после установления температуры жидкого азота в рабочем объеме и образце. Анализ нейтронограмм карбидов, снятых при температуре жидкого азота, показал, что при этой температуре структурных изменений не происходит. Наблюдается лишь увеличение интенсивностей дифракционных максимумов из-за уменьшения теплового фактора Дебая–Валлера. Для  $\text{TiC}_x$  со структурой типа  $\text{NaCl}$  структурные факторы определяются выражением  $F = (b_{\text{Ti}} \pm xb_{\text{C}})$ , где  $b_{\text{Ti}}$ ,  $b_{\text{C}}$  – амплитуды когерентного рассеяния нейтронов на ядрах Ti и C соответственно ( $b_{\text{Ti}} = -0.34 \times 10^{-3}$  и  $b_{\text{C}} = 0.665 \times 10^{-3} \text{ нм}$  [3]), знаки “+” и “–” относятся соответственно к отражениям от плоскостей с четными и нечетными индексами Миллера  $hkl$ . Как следует из данного выражения, значение структурного фактора для отражений с четными индексами  $hkl$  будет весьма мало. Относительные интенсивности большинства дифракционных максимумов с четными  $hkl$  в зависимости от концентрации углерода лежат в интервале 0.42–3% (рис. 1). Поэтому обработку нейтронограмм лучше проводить по сильным отражениям с нечетными индексами  $hkl$ . Обработка по методу Ритвельда проводится по полной нейтронограмме, при этом также учитываются весьма маленькие пики, что приводит к резкому возрастанию ошибки определения маленьких величин. По этой причине для определения среднеквадратичных смещений использовался графический метод, описанный в [2]. При этом для расчета использовались только сильные дифракционные максимумы с нечетными индексами  $hkl$  (111, 113, 133, 115 и 333). Простые формы структурных факторов кристаллической решетки со-

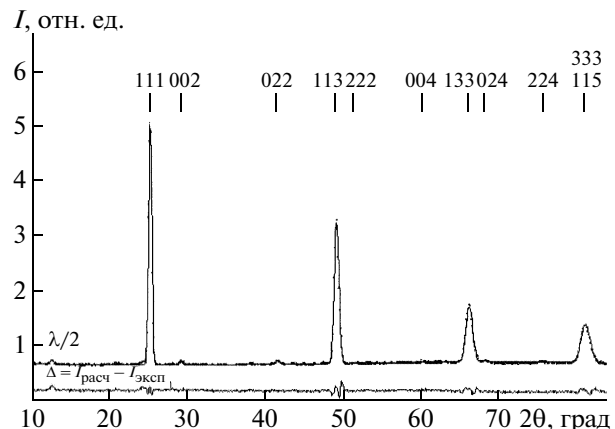


Рис. 1. Нейтронограммы карбида титана  $\text{TiC}_{0.70}$ : точки – эксперимент, сплошная линия – расчет,  $\Delta$  – разность экспериментальных и расчетных значений интенсивностей.

структурой типа  $\text{NaCl}$  позволяют очень легко определить из нейтронограммы значение СКС атомов [2]. Для поликристаллического образца цилиндрической формы экспериментально наблюдаемая интенсивность нейтронодифракционного максимума для кубического карбида титана определяется следующим выражением:

$$I_{\text{эксп}} = K I_0 \exp\left(-\frac{16\pi^2 \bar{u}^2}{3} \times \frac{\sin^2 \theta}{\lambda^2}\right), \quad (1)$$

где  $I_0$  – расчетная интенсивность дифракционного максимума без учета теплового фактора  $B = (8\pi^2 u^2/3) \sin^2 \theta / \lambda^2$ ,  $K$  – коэффициент, зависящий от геометрии прибора и образца;  $\bar{u}^2$  – усредненные полные (динамические плюс статические) СКС атомного комплекса карбида титана:

$$\bar{u}^2 = \bar{u}_d^2 + \bar{u}_s^2, \quad (2)$$

где  $\bar{u}_d^2$  – динамические смещения, вызываемые тепловыми колебаниями атомов,  $\bar{u}_s^2$  – статические смещения атомов, возникшие из-за различия в размерах атомов и отклонения состава твердого раствора от стехиометрии. Из выражения (1)

видно, что  $\ln\left(\frac{I_{\text{эксп}}}{I_0}\right)$  есть линейная функция от  $\sin^2 \theta / \lambda^2$ , так что построив график зависимости  $\ln\left(\frac{I_{\text{эксп}}}{I_0}\right)$  в функции  $\frac{\sin^2 \theta}{\lambda^2}$ , по наклону прямой можно определить тепловой фактор  $B$ , а затем  $\bar{u}^2$ .

Графики зависимости  $\ln\left(\frac{I_{\text{эксп}}}{I_0}\right)$  от  $\frac{\sin^2 \theta}{\lambda^2}$  для изучаемых карбидов титана при комнатной температуре и температуре жидкого азота представ-

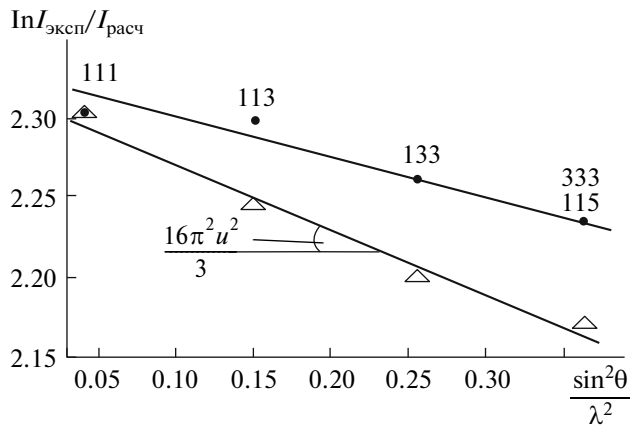


Рис. 2. Зависимость  $\ln\left(\frac{I_{\text{эксп}}}{I_0}\right)$  от  $\frac{\sin^2 \theta}{\lambda^2}$  для карбида  $\text{TiC}_{0.97}$ :  $\Delta$  — при комнатной температуре;  $\bullet$  — при температуре жидкого азота. Над точками указаны индексы Миллера отражающих плоскостей  $hkl$  (пр. гр.  $Fm\bar{3}m$ ).

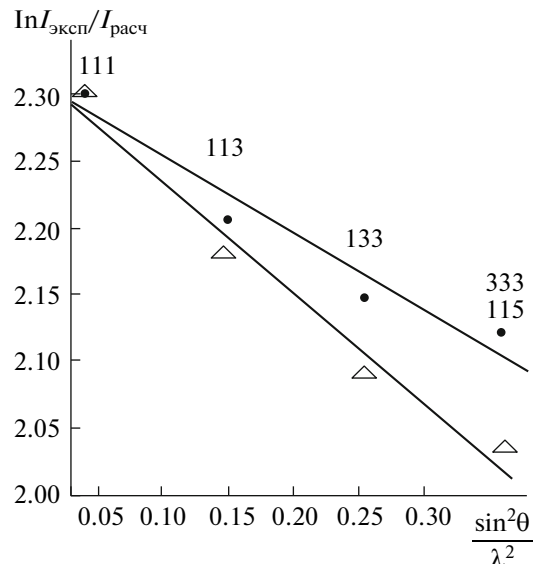


Рис. 4. Зависимость  $\ln\left(\frac{I_{\text{эксп}}}{I_0}\right)$  от  $\frac{\sin^2 \theta}{\lambda^2}$  для карбида  $\text{TiC}_{0.70}$ . Обозначения те же, что и на рис. 2.

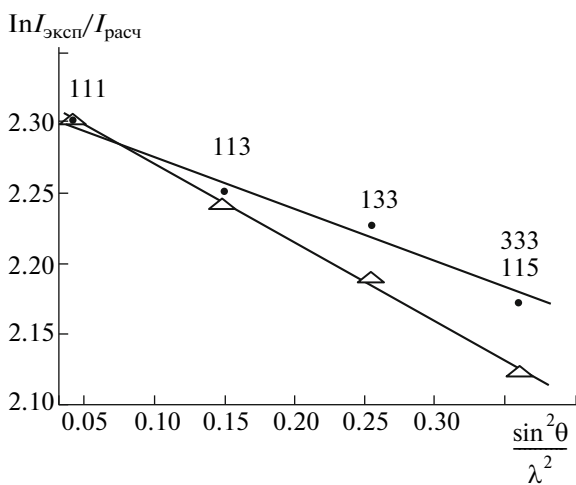


Рис. 3. Зависимость  $\ln\left(\frac{I_{\text{эксп}}}{I_0}\right)$  от  $\frac{\sin^2 \theta}{\lambda^2}$  для карбида  $\text{TiC}_{0.88}$ . Обозначения те же, что и на рис. 2.

лены на рис. 2—4. Расчеты теплового фактора  $B$  по графикам проводили методом наименьших квадратов по структурным отражениям с нечетными индексами Миллера. Измерения проводились так, чтобы статистическая ошибка  $\delta = \sqrt{\frac{I_n + 2I_\Phi}{I_n}}$  ( $I_n$  и  $I_\Phi$  — интенсивности дифракционного максимума и фона соответственно) для этих пиков не превышала 2%. Найденные значения полных СКС при температурах  $T_1 = 300$  К и  $T_2 = 80$  К приведены в таблице. Ошибки определения СКС не превышают 5%. Отметим, что для карбидов тита-

на  $\text{TiC}_{0.97}$  и  $\text{TiC}_{0.88}$  при комнатной температуре получили такие же полные среднеквадратичные смещения атомного комплекса, какые были приведены в [2].

Далее раздельно определили динамические и статические смещения атомов. Дифракционный метод раздельного определения динамических и статических искажений в решетке основан на том обстоятельстве, что величина  $\overline{u_{\text{дин}}^2}$  зависит от температуры, а  $\overline{u_{\text{стат}}^2}$  — не зависит [8]. Согласно [8], для раздельного определения  $\overline{u_{\text{дин}}^2}$  и  $\overline{u_{\text{стат}}^2}$  при произвольном виде фононного спектра строится график следующего уравнения, проводя опыт при комнатной температуре и температуре жидкого азота:

$$\overline{u^2} - \frac{\hbar^2}{4mkT} = \frac{AkT}{m} + \overline{u_{\text{стат}}^2}, \quad (3)$$

где  $m$  — эффективная масса атомов твердого раствора (средняя масса атомного комплекса для сплава внедрения),  $\hbar$  и  $k$  — универсальные постоянные,  $A$  — коэффициент, не зависящий от температуры. График является прямой линией, наклон которой к оси абсцисс определяет величину  $Ak/m$ . По отрезку, отсекаемому прямой линией от оси ординат, определяют величину  $\overline{u_{\text{стат}}^2}$ .

Как показано в [8] на примере Ni, данная методика с хорошей точностью дает возможность работать, проводя опыт при двух температурах:  $T_{\text{комн}}$  и  $T_{\text{азот}}$ . Разумеется, что в случае тугоплавкого материала методика будет работать еще лучше.

Полные динамические СКС атомов ( $\text{\AA}$ ), температура Дебая (К) при температурах  $T_1 = 300$  К и  $T_2 = 80$  К и статические смещения атомов ( $\text{\AA}$ ) в карбидах титана

Образец	$\sqrt{\bar{u}^2}$		$\sqrt{\bar{u}_{\text{стат}}^2}$	$\sqrt{\bar{u}_{\text{дин}}^2}$		$\sqrt{\Delta \bar{u}^2} \approx \sqrt{\Delta \bar{u}_{\text{дин}}^2}$	$\Theta$	
	$T_1$	$T_2$		$T_1$	$T_2$		$T_1$	$T_2$
TiC <sub>0.97</sub>	0.084	0.075	0	0.084	0.075	0.038	860	520
TiC <sub>0.88</sub>	0.104	0.086	0.022	0.101	0.083	0.057	700	480
TiC <sub>0.70</sub>	0.126	0.102	0.042	0.119	0.093	0.074	590	440

Согласно (3), построили графики зависимости  $\bar{u}^2 - \frac{\hbar^2}{4mkT} m$  от  $\frac{A\kappa T}{m} + \bar{u}_{\text{стат}}^2$  (рис. 5), иллюстрирующие, что для карбида Ti почти стехиометрического состава TiC<sub>0.97</sub> в пределах ошибок определения значение  $\bar{u}_{\text{стат}}^2$  оказалось равным нулю. Зная значения статических искажений  $\bar{u}_{\text{стат}}^2$  и  $\bar{u}^2$ , по формуле (2) можно определить значения динамических искажений (амплитуды тепловых колебаний атомов) как при комнатной температуре, так и при температуре жидкого азота. Динамические смещения  $\sqrt{\bar{u}_{\text{дин}}^2}$  при обеих температурах также приведены в таблице. Вопреки предположению о незначительности изменения динамических искажений в области гомогенности карбида титана, они существенно увеличиваются как при комнатной температуре, так и при температуре 80 К с уменьшением концентрации углерода, что свидетельствует об уменьшении межатомных взаимодействий при увеличении концентрации структурных вакансий.

Поскольку  $\bar{u}_{\text{стат}}^2$  не зависит от температуры, то из уравнения (2) для комнатной температуры и  $T_2 = 80$  К вытекает равенство разностей полных СКС и динамических искажений при двух температурах:

$$\begin{aligned} \Delta \bar{u}^2 &= \bar{u}^2(300 \text{ K}) - \bar{u}^2(80 \text{ K}) = \\ &= \bar{u}_{\text{дин}}^2(300 \text{ K}) - \bar{u}_{\text{дин}}^2(80 \text{ K}). \end{aligned} \quad (4)$$

Интересно отметить, что в эксперименте это равенство действительно выполняется для карбидов титана всех концентраций (таблица).

Между амплитудой тепловых колебаний атомов и температурой Дебая имеется следующая связь [1]:

$$\theta = \frac{9h^2}{4\pi^2 km \bar{u}_{\text{дин}}^2} \left[ \frac{\Phi(x)}{x} + \frac{1}{4} \right], \quad (5)$$

где  $h$  — постоянная Планка;  $k$  — постоянная Больцмана;  $m$  — средняя масса атомного комплекса для сплавов внедрения,  $\theta$  — характеристи-

ческая температура,  $\Phi(x)$  — табуированная функция;  $x = \theta/T$  — отношение температуры Дебая к измеряемой температуре;  $T$  — температура в Кельвинах, при которой проводятся измерения. В таблице также приведены температуры Дебая карбидов титана для двух температур ( $T_1 = 300$  К и  $T_2 = 80$  К), рассчитанные по формуле (5) на основе полученных значений  $\bar{u}_{\text{дин}}^2$ . Температура Дебая для TiC<sub>0.97</sub> при комнатной температуре такая же, как и полученная методом дифракции нейтронов в [9]. Для других составов при комнатной температуре и для всех составов при температуре жидкого азота температура Дебая определена впервые.

## ВЫВОДЫ

Путем измерения нейтронограмм карбидов титана ряда составов при комнатной температуре и температуре жидкого азота раздельно определены амплитуда тепловых колебаний атомов  $\bar{u}_{\text{дин}}^2$  при использованных двух температурах, а также статические искажения  $\bar{u}_{\text{стат}}^2$  кристаллической решетки. Экспериментально установлено, что статические искажения решетки в почти стехиомет-

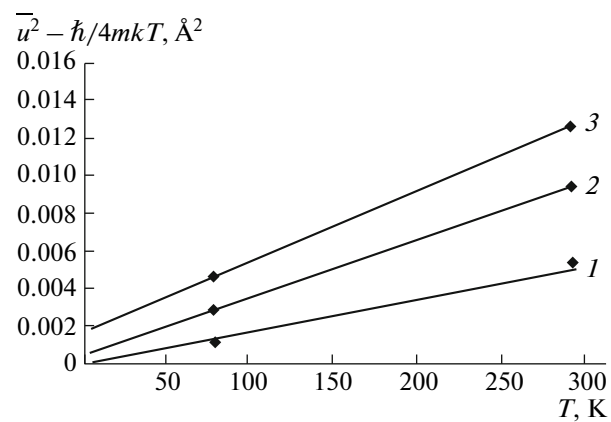


Рис. 5. Зависимость  $\bar{u}_{\text{полн}}^2 - \frac{\hbar^2}{4mkT} m$  от  $\frac{A\kappa T}{m} + \bar{u}_{\text{стат}}^2$  для карбидов TiC<sub>0.97</sub> (1), TiC<sub>0.88</sub> (2) и TiC<sub>0.70</sub> (3).

рическом карбиде титана пренебрежимо малы. В области гомогенности  $TiC_x$  наблюдается существенное увеличение амплитуды тепловых колебаний атомов  $\overline{u^2}$  с уменьшением концентрации углерода. Это свидетельствует об уменьшении сил межатомных взаимодействий в карбиде титана  $TiC_x$  с увеличением концентрации структурных вакансий.

Определена температура Дебая в карбиде титана в области гомогенности как при комнатной температуре, так и при температуре жидкого азота.

Экспериментально показано, что для значений полных среднеквадратичных смещений и амплитуды тепловых колебаний атомов при двух температурах хорошо выполняется равенство:

$$\overline{u^2}(300 \text{ K}) - \overline{u^2}(80 \text{ K}) \approx \overline{u_{\text{дин}}^2}(300 \text{ K}) - \overline{u_{\text{дин}}^2}(80 \text{ K}).$$

Работа выполнена при финансовой поддержке гранта Фундаментальных исследований АН РУ № ФА-Ф2-Ф065.

## СПИСОК ЛИТЕРАТУРЫ

1. Иверонова В.И., Ревкевич Г.П. Теория рассеяния рентгеновских лучей. М.: МГУ, 1978. 279 с.
2. Гусев А.И., Ремпель А.А. Структурные фазовые переходы в нестехиометрических соединениях. М.: Наука, 1988. 312 с.
3. Нозик Ю.З., Озеров К.П., Хенниг К. Нейтроны и твердое тело. Структурная нейтронография. Т. 1. М.: Атомиздат, 1979. 344 с.
4. Манухин А.В., Купреева Г.А., Дворецкий П.В. // Изв. Вузов. Цветная металлургия. 2004. № 1. С. 372.
5. Шоюсупов Ш., Гетманский В.В., Хидиров И. и др. // Узб. журн. Проблемы энергетики и информатики. 2002. № 2. С. 11.
6. Yang R.A., Wiles D.B. // J. Appl. Cryst. 1982. V. 15. P. 430.
7. Гусев А. И. // УФН. 2000. Т. 170. № 1. С. 3.
8. Семеновская С.В., Уманский Я.С. // Докл. АН СССР. 1962. Т. 145. № 2. С. 312.
9. Хидиров И., Каримов И., Эм В.Т., Файзулаев Ф. // Физика металлов и металловедение. 1977. Т. 44. № 11. С. 184.